

防衛大学校 正員 真嶋恭雄

〃 " 池内正幸

〃 " 重村利幸

1. 序論 海浜における波の変形と海浜床部の変化とは因果関係にあると考えられ、この間の関係を明らかに出来れば、波による海浜変形に関する諸問題の解明に大いに寄与することができると思える。海浜上の波の変形および海底断面の変形に関するては、従来それそれ切離して研究がなされており、かばかりの成果が得られていい。しかししながら両者の因果関係を明らかにするところまでには到達していない。本報告は問題を海浜上とそよぐ波の変形とそれによつて生じた砂連の特性のみに限定し、実験・観測した結果である。

2. 実験装置および方法 造波水路には長さ21.6 m, 幅0.6 m, 深さ0.8 mの両面ガラス張り水路を使用した。水路後端2.86 mのところにBallistic Pendulum typeの造波機を設置し、動力には3HPの無段变速機付モーターを使用した。水路前端には、長さ6 mのわたり勾配1/10の模型海浜を設け、海浜底砂には相模川産の砂($\phi_0=0.11$ mm, $\phi_{60}=0.32$ mm, 比重=2.69)をそのまゝ10cmの厚さにしきつめて使用した。実験はTable-1に示す通り、12種類の場合につき実施し、各シリーズ毎、千回くりかえし実験した。また造波は前段2時間、後段2時間、計4時間造波した。波はFig-1に示す各段で実験開始時、1時間後、2時間後、後段用開始時、1時間後、2時間後の6回にわたり、測定記録した。海浜床部の測定は、前段2時間、後段2時間造波後、排水し、水路中心部で縦断面をとり、砂連はFig-1のP. 点より、30 cm 間隔で測定横断面を設け、各断面上で5点、試作電気式ポイントゲージで測定した。

3. 実験結果および考察

1) 海浜上での波高変化 波高測定の結果をFig-2に示す。図中A, H, Lはそれぞれ海浜上の任意点における水深、波高、波長を示し、H₀は等水深における波高を基にして、airy 波理論より槽とのエネルギー損失を無視して算出した等価冲浪高を示す。また実線は、同じく airy 波理論より伝播過程における槽とのエネルギー損失を無視し得るものとして導かれた理論式を示す。時間に応する波高変化を検討したが、

Depth (Cm)	50	
Arm Length (Cm)	3	5
Period (Sec)	0.8	1.0
Practice	4	4
	4	4

Table-1 Detail of Experiment

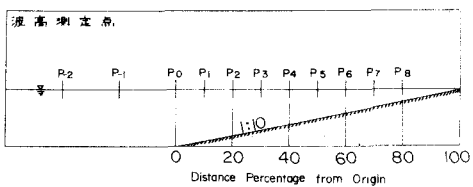


Fig 1

非常な複雑化を示し、また測定も一時間かぎり実施したため、相間性を見出すことが出来なかつた。しかしながら全体的にみれば、かなりの偏差はあるが、ほゞ airy 波理論より、種々の損失を無視して導いたのが理論式に合うことが判る。このことは、Ippen and Eaglson が行なったほど同規模の実験(DDJ 固定床)でも確認されたり。また海浜勾配が 1/10 のように、かぶり急な場合には、海浜上を上する波の波高に対する海浜底部での摩擦等によるエネルギー損失は、比較的小さいことが判る。このことは Putnam and W. Johnson も指摘している。

2) 海底断面の変化 Fig-3 は 2 時間造波後、かくべ千時間造波後の水路中央における海浜の縦断面を無次元表示したものである。原点には海浜の起点をとり、縦軸は水深 (50cm) を海浜上の任意点との水深との比をとり、横軸には、原点より汀線までの距離と海浜上の任意点との距離の比をとった。凡ての垂直方向は水平方向に対して 5 倍に拡大・縮小されてゐる。これらから以下のような諸事項が觀察される。

(1) 全ての冲浪波形勾配に対して、造波後 2 時間での海底断面は、造波後 2 時間での床断面に比し侵食より堆積が進行してゐる。しかしながら冲浪波形勾配が 0.028 以下の場合は除き断面の形状は、ほゞ類似している。

(2) 沿岸砂洲は、冲浪波形勾配が 0.026 の場合は発生せず、また 0.028 の場合には沿岸砂洲は発生するがその規模は非常に小さい。冲浪波形勾配が約 0.04 以上になると沿岸砂洲は全ての場合に発生してゐる。

(3) 冲浪波形勾配が約 0.04 以下の場合には、前洪は必ず堆積し、從って前洪勾配は常に 0.04 以上となると前洪は全て侵食され、その結果、前洪勾配は比較的大きくなる。

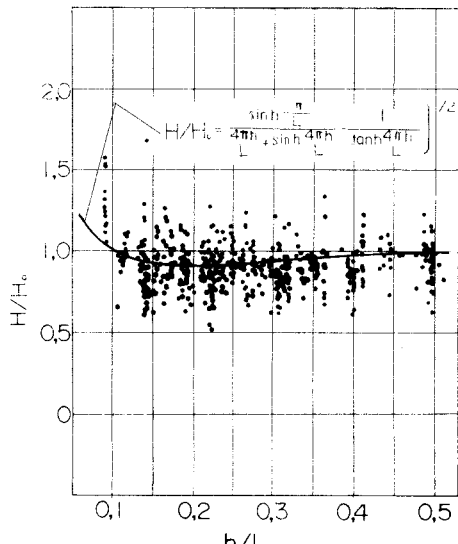


Fig 2

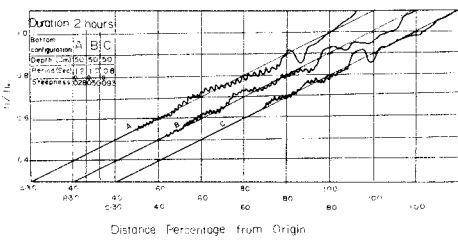


Fig 3-1

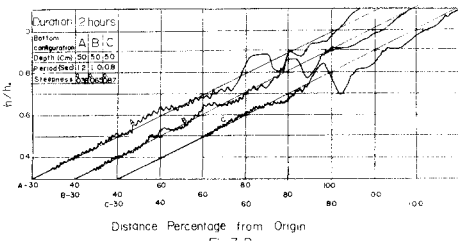


Fig 3-2

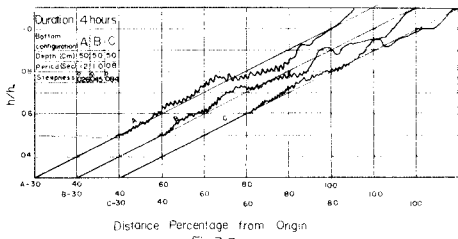


Fig 3-3

海浜の平衡勾配に関するのは岩垣・根木博士による系統的な研究がなされたり、ほゞ同様の現象が指摘されてい。

3) 砂連 Bagnold は従来の方法で実験を試み、砂連の岸壁限界より砂連発生による床面での摩擦係数を求めた。一般に砂連発生より砂連の発達に影響する要因としては、波の要素、地形の要素、底質の要素等が考えられる。しかししながら、本模型実験の場合のとく、波が汀線に対して直角に進み、ハフ底部しかなり均一の場合には、砂連特性を最も支配的因素は、海底に生ずる水分子の振動運動による摩擦力であると考えられる。そこで本報告では砂連特性を波が床面で摩擦力をより損失するエネルギー量で整理することを試みた。即ち一般に砂連を有する床面に作用する単位面積当たりの摩擦力の水平分力をとすればこれは次式で表わされる。

$$C = \rho k u_b^2 \quad \dots \dots \dots \quad (1)$$

ここで ρ は液体密度、 k は摩擦係数、 u_b は床面での分子速度を表す。従って、この水平分力によると波の単位時間当たりに損失するエネルギー量は

$$\Delta E_b = \rho k u_b^3 \quad \dots \dots \dots \quad (2)$$

従って海底床部の単位面積当たり、一周期間に波の失うエネルギー量を D_f とすれば、 D_f は次式で表わされる。

$$D_f = \int_0^T \Delta E_b dt \quad \dots \dots \dots \quad (3)$$

ここで u_b は air 波理漏れによる床面水分子速度を仮定すれば、 $u_b = \frac{\pi H}{T \sinh \frac{2\pi h}{L}} \sin(\frac{2\pi}{L}x - \frac{2\pi}{T}t)$ と (3) 式に代入して $D_f = -\frac{4\pi^2 \rho k H^3}{3 T^2 \sinh^3(\frac{2\pi h}{L})}$ を得る。

一方、冲浪の有する単位面積当たりのエネルギー量を E_o とすると、 E_o は次式で表わされる。

$$E_o = \frac{1}{8} \rho g H_o^2 \quad \dots \dots \dots \quad (5)$$

4) 式と(5)式の比が砂連特性を最も支配的因素であることを D_f/E_o で砂連特性の分析を試みた。

(1) 砂連波高 Fig. 4 は任意の砂連断面を示す。図中、 H_r は砂連波高と定義する。Bagnold は人工砂連を用いて、これを測定し次の結果を得ている。

$$R/p < 1 \text{ のとき } k = 0.08$$

$$R/p > 1 \text{ のとき } k = 0.072 (R/p)^{-0.25}$$

ここで R は砂連の半幅巾、 p は砂連波長を示す。いま

4) 式の k が Bagnold の結果が適用出来るか仮定して

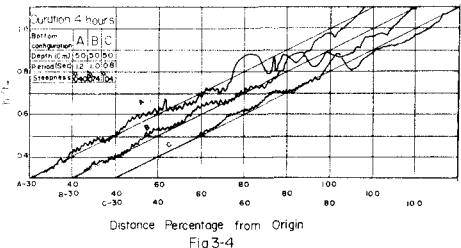


Fig. 3-4

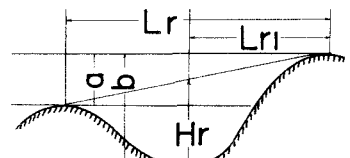


Fig. 4

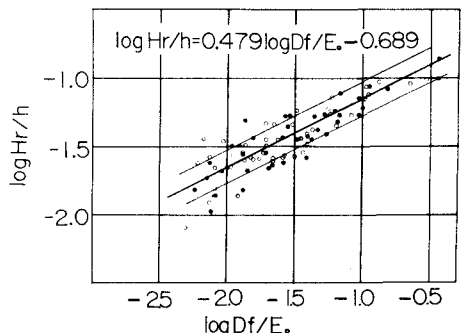


Fig. 5

Df/E 。を計算し、砂連波高を整理したのがFig-5である。即ち横軸に Df/E の対数をとり、縦軸にその対数と対応する砂連波高をその対数を取った。図中白丸は造波後2時間後の測定値を示し、黒丸は造波後4時間の測定値を示す。この図から砂連波高は2時間造波後と4時間造波後の間に大きな差異は認められず、本実験の如くばかり波形勾配の大きい場合には砂連波高は、ほど2時間以上すれば Df/E の値に対する一定の値をもつてきが判る。両者の間には

$$\log H_r/h = 0.479 \log Df/E_0 - 0.689 \quad \text{± 0.14} \\ \text{標準偏差は } 0.117 \text{ である。}$$

(2) 砂連波長 砂連波高と同様の方法で砂連波長を整理したのがFig-6である。同じく横軸に Df/E の対数をとり縦軸にその対数と対応する砂連波長をその対数を取った。白丸は2時間造波後、黒丸は4時間造波後の砂連波長を示す。砂連波長も砂連波高の場合と同様に、ほど2時間造波すれば Df/E の値に対する一定の値をもつてきが判る。両者の間には

$$\log L_r/h = 0.4409 \log Df/E_0 + 0.026 \quad \text{± 0.04} \\ \text{標準偏差は } 0.116 \text{ である。}$$

(3) 砂連勾配 Fig-7は上からそれぞれ Df/E の対応する砂連の波浪勾配、前面勾配、後面勾配、および波形勾配を示す。これらの図から次のことが明らかである。

- 砂連の波浪勾配は本実験の範囲では Df/E の値により影響されず、ほぼ 15° 以下の角度となる。
 - 砂連の前面勾配は約 8° から 34° の広い範囲の角度となるが、大半は 30° 以内にある。
 - 砂連の後面勾配は 0° から約 34° の広い範囲の角度となるが、大半は 22° 以内にある。
 - 砂連の波形勾配は本実験の範囲では Df/E の値により影響されず、ほど 0.268 以下の値となる。
- 以上の結果から砂連は2時間以上造波すれば Df/E の値に対する一定の値をもつてきが判る。今後更に研究してゆく所存である。終りに際し本実験に協力してくださった当研究室の今井国次・鶴野暉氏に謝意を表す。

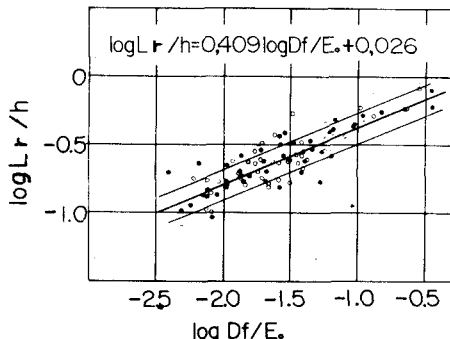


Fig 6

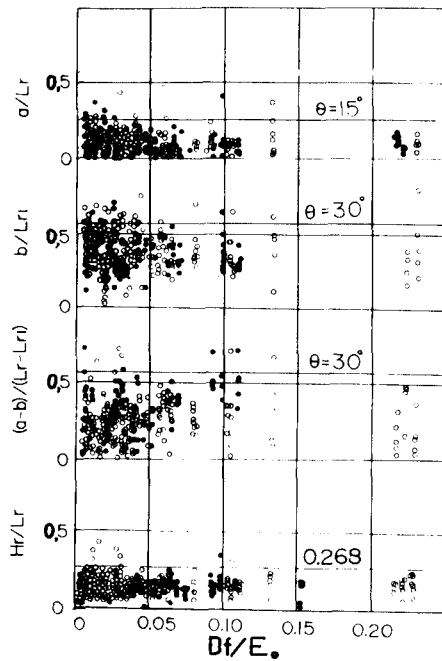


Fig 7